



Ing. Jiří Čejka, DrSc. (2. září 1929 – 2. září 2025)

Jiří Sejkora¹ & Jakub Plášil^{1,2}

¹ Národní muzeum, Mineralogicko-petrologické oddělení, Cirkusová 1740, 193 00 Praha 9;
jiri.sejkora@nm.cz

² Fyzikální ústav AV ČR, Na Slovance 2, 18200 Praha 8

Sejkora J. & Plášil J., 2025: Ing. Jiří Čejka, DrSc. (2. září 1929 – 2. září 2025). – Journal of the National Museum (Prague), Natural History Series 194: 217–230.

Druhého zářijového dne roku 2025, v okamžiku svých šestadevadesátých narozenin, dokonal svou pozemskou pout' Ing. Jiří Čejka, DrSc., dlouholetý vedoucí pracovník chemické laboratoře Národního muzea (1972–1991) a později ředitel Přírodovědeckého muzea Národního muzea (1991–2001). Jiří byl pro mnoho z nás důležitým kolegou, přítelem a mentorem, s nímž bylo lehčí pohybovat se v rozbouřených vodách vědeckých i životních. Jiří byl odborníkem na slovo vzatým v oblasti infračervené a později i Ramanovy spektroskopie, zejména minerálů šestimocného uranu a termické analýzy. Jako poctu životu a dílu Jiřího vychází speciální vzpomínkové číslo *Journal of Geosciences* (3/2025) tematicky zaměřené na mineralogii a krystalografii uranových minerálů a také obsahující delší vzpomínku na Jiřího včetně jeho kompletní bibliografie. Ku příležitosti jeho devadesátých narozenin byl také v roce 2019 v *Journal of the National Museum (Prague), Natural History Series* uveřejněn podrobný životopisný článek obsahující kompletní bibliografii do roku 2019.

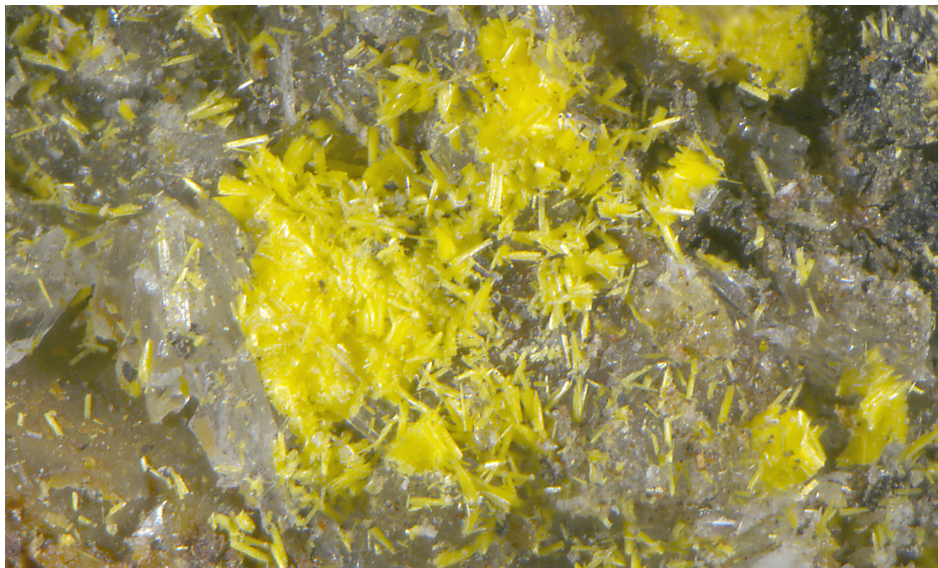


Netřeba zde připomínat výčet zásluh Jiřího o mineralogii uranu, nicméně rádi bychom zde Jirku připoměli trochu jiným způsobem, a to ve formě fotografií vybraných minerálů, na jejichž prvopopisu se Jiří Čejka podílel. Pro přesnost, nových minerálů, kterým Jirka takřkajíc pomohl na svět, je celkem 43!

Jirko, díky za vše, budeme na Tebe vzpomínat s vděkem do našich posledních dnů.

Jakub K. Plášil & Jiří Sejkora

Galerie vybraných nových minerálů Jiřího Čejky:



Obr. 2. Žluté dlouhé sloupcovité až jehlicovité krystaly jáchymovitu (popsán 1996); Jáchymov; šířka záběru 2,2 mm. Foto: J. Sejkora.



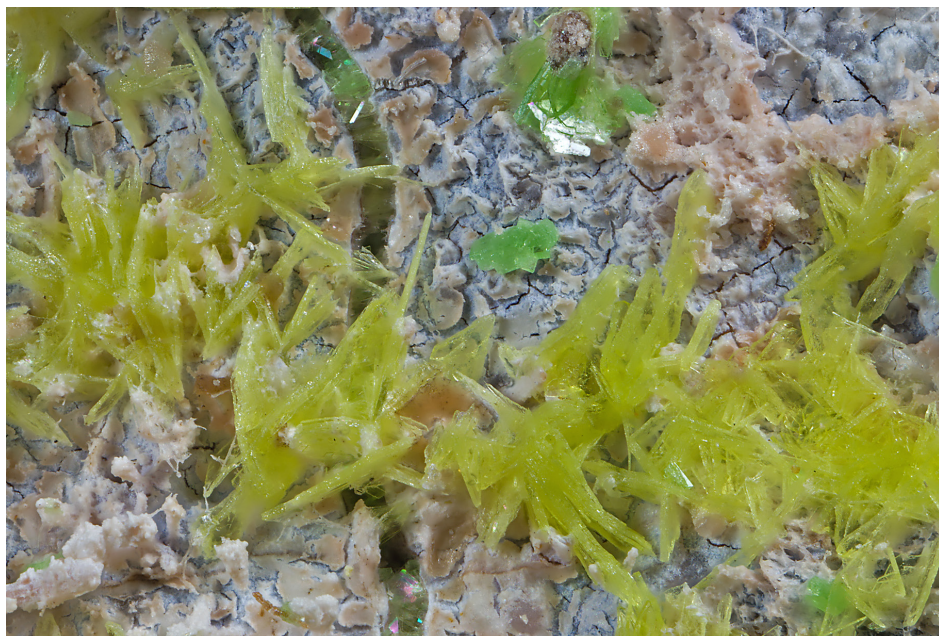
Obr. 3. Krystaly zeleného vajdakitu (popsán 2002) narůstající s bělavým paraskoroditem na silně alterovanou hydrotermálně postiženou žulu; Jáchymov – žíla Geschieber-jih, důl Svornost, 12. patro; šířka záběru 2,5 mm. Foto: P. Škácha.



Obr. 4. Tabulkovité krystaly fosfowalpurinu (popsán 2004) v dutině křemenné žiloviny; Smrkovec; šířka záběru 2,3 mm. Foto: J. Sejkora.



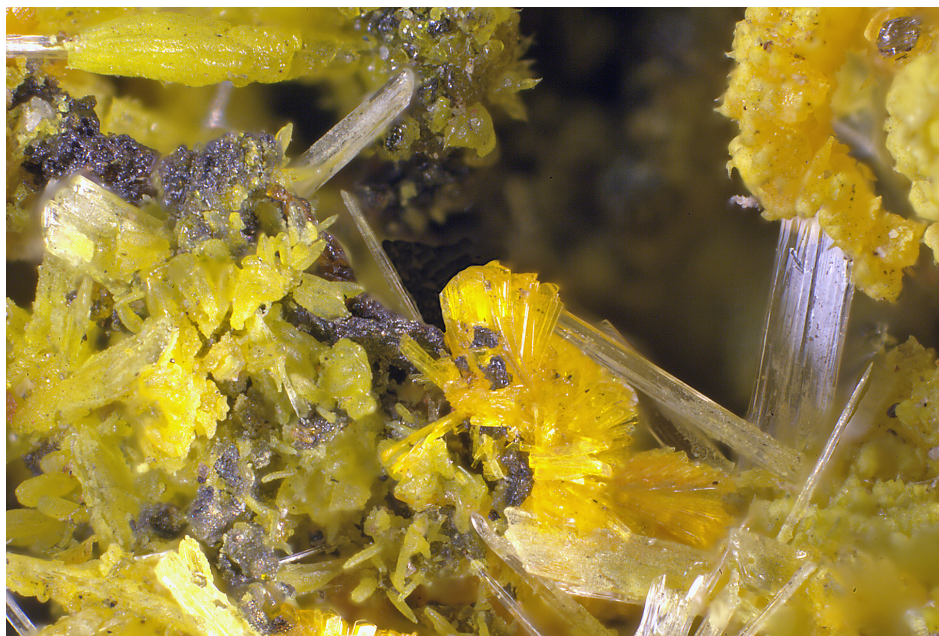
Obr. 5. Dobře vyvinuté trávově zelené krystaly pseudojohannitu (popsán 2006) v asociaci s Cu-bohatým compeignacitem (oranžově zelený), brochantitem (tmavě zelený) a kuproskłodowskitem (zelenobílý); Jáchymov - Červená žíla, důl Rovnost I, patro Daniel; šířka záběru 2,5 mm. Foto: P. Škácha.



Obr. 6. Žluté tabulkovité krystaly metarauchitu (popsán 2008) v asociaci se zelenými krystaly metazeuneritu; Jáchymov; šířka záběru 3,9 mm. Foto: B. Bureš.



Obr. 7. Zelené krystaly běhounekitu (popsán 2011) narůstající na silně korodovaný ryzí arsen; Jáchymov – žíla Geschieber, důl Svornost, 10. patro; šířka záběru 2,5 mm. Foto: P. Škácha.



Obr. 8. Skupina oranžově žlutých krystalů sekoraitu-(Y) (popsán 2011) v asociaci s čirými krystaly sádrovce; Jáchymov; šířka záběru 2,5 mm. Foto: P. Škácha.



Obr. 9. Drobné žluté krystalické agregáty adolfpateraitu (popsán 2012) v asociaci se světle zeleným geschieberitem; Jáchymov – žíla Geschieber, důl Svornost, 5. patro; šířka záběru 4 mm. Foto: P. Škácha.



Obr. 10. Krystaly zeleného štěpitu (popsán 2013) narůstající na silně zvětralý ryzí arsen; Jáchymov – žíla Geschiebler, důl Svornost, 10. patro; šířka záběru 2,5 mm. Foto: P. Škácha.



Obr. 11. Radiálně paprčité agregáty jehlicovitých krystalů vysokýtí (popsán 2013) narůstající na arsenolitem pokrytý povrch silně zvětralého ryzího arsenu; Jáchymov – žíla Geschiebler, důl Svornost, 10. patro; šířka záběru 2,5 mm. Foto: P. Škácha.



Obr. 12. Bohaté krystalické agregáty zeleného geschieberitu (popsán 2014) srůstající s mléčně bílým sádrovcem; Jáchymov – žíla Geschieber, důl Svornost, 5. patro; šířka záběru 4 mm. Foto P. Škácha.



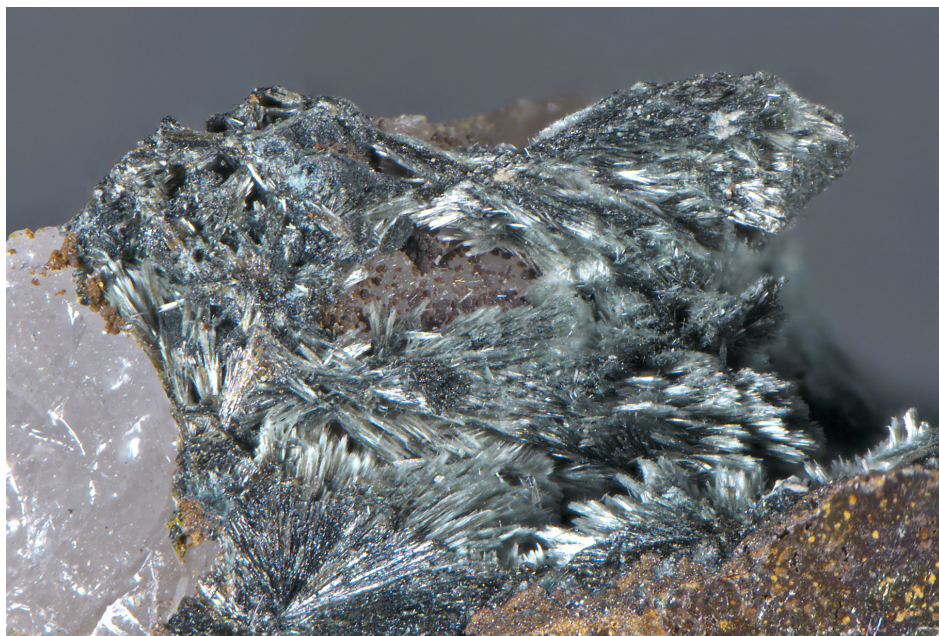
Obr. 13. Srostlice prizmatických krystalů žlutého svornostitu (popsán 2014) v asociaci se zeleným geschieberitem a bílým sádrovcem; Jáchymov – žíla Geschieber, důl Svornost, 5. patro; šířka záběru 2,5 mm. Foto: P. Škácha.



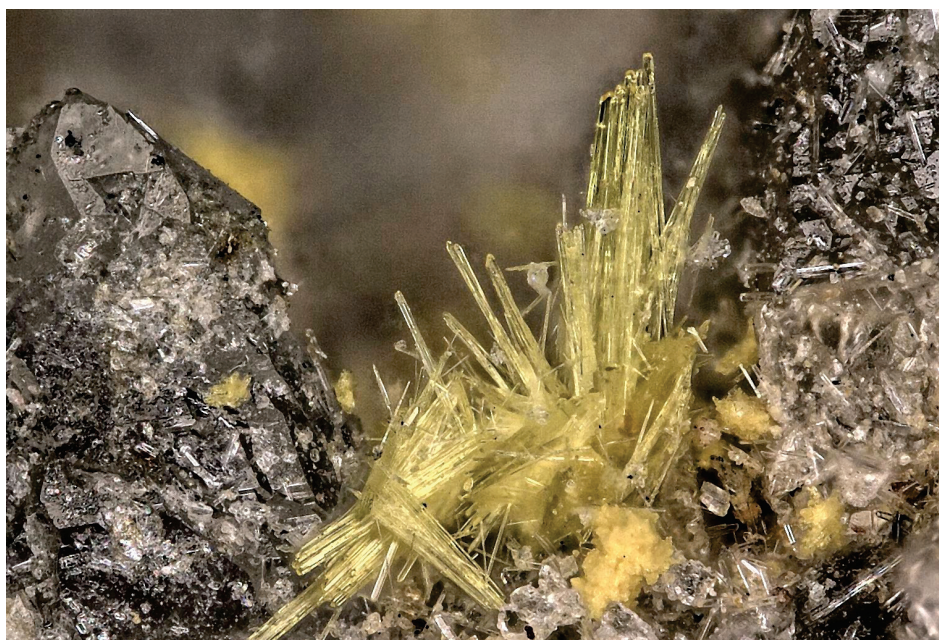
Obr. 14. Skupina žlutých dlouze prizmatických krystalů jezekitu (popsán 2015) na alterované žilovině; Jáchymov – žíla Geschieber, důl Svornost; šířka záběru 3,5 mm. Foto: J. Sejkora.



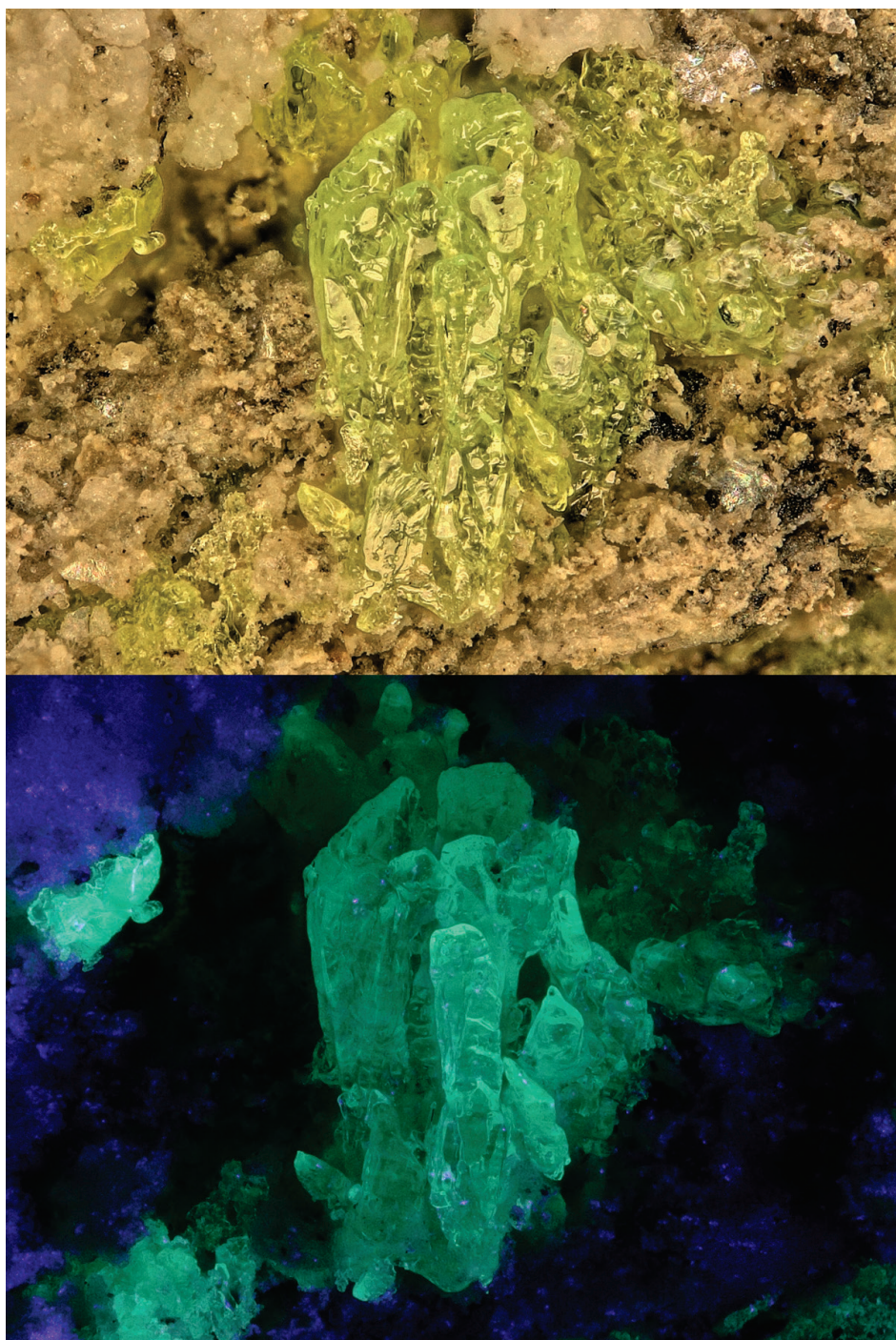
Obr. 15. Srostlice žlutých tabulkovitých krystalů brauneritu (uprostřed a vpravo nahoře) (popsán 2016) v asociaci se světle zelenými tabulkovitými krystaly línekitu; Jáchymov; šířka záběru 2,5 mm. Foto: P. Škácha.



Obr. 16. Stříbřité, olivově zelené až šedo zelené, perleťově lesklé vláknité agregáty tvrdítu (popsán 2016) v dutině křemenné žiloviny; Krásno u Horního Slavkova – opuštěný lom na Huberově pni; šířka záběru 6 mm. Foto: J. Sejkora.



Obr. 17. Žluté jehlicovité krystaly alwilkinsitu-(Y) (popsán 2017) v asociaci se sádrovcem a natrozippitem na křemenu; Blue Lizard mine, San Juan County, Utah (USA), šířka záběru 1 mm. Foto: Anthony R. Kampf.



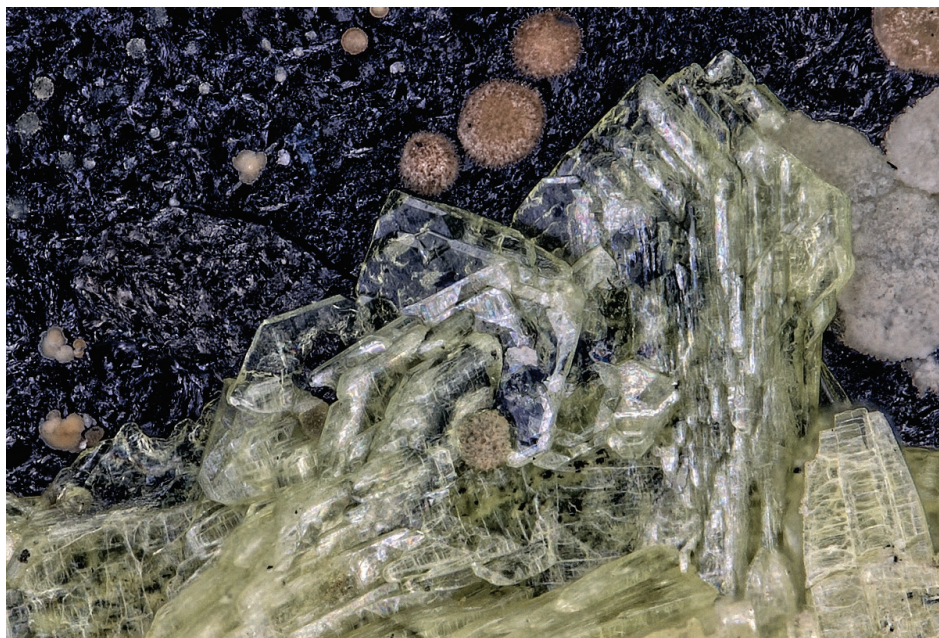
Obr. 18. Žluté kostrovitě vyvinuté prizmatické krystaly klaprothitu (popsán 2017) narůstající na alterované hornině, na dolním obrázku stejný záběr v UV-zářeni (405 nm); Blue Lizard mine, San Juan County, Utah (USA), šířka záběru 1 mm. Foto: Anthony R. Kampf.



Obr. 19. Srostlice dokonale vyvinutých tabulkovitých krystalů línekitu (popsán 2017) narůstající na okoložilnou horninu; Jáchymov – žíla Geschieber, důl Svornost, 5. patro; šířka záběru 1,8 mm. Foto: P. Škácha.



Obr. 20. Nápadně červenooranžové krystalické agregáty plavnoitu (popsán 2017) na žilovině; Jáchymov – žíla 13-střed, důl Plavno, 2. patro; šířka záběru 2,5 mm. Foto: P. Škácha.



Obr. 21. Tabulkovité krystaly markeyitu (popsán 2018) ve středu obrázku v asociaci s podobným novým Ca uranyl karbonátem (úzké krystaly v dolní části obrázku) a kalcitem (hnědé a šedé kulovité agregáty) na asfaltu bohaté hornině; Markey mine, San Juan County, Utah (USA), šířka záběru 1,6 mm. Foto: Anthony R. Kampf.



Obr. 22. Krystaly nollmotzitu (popsán 2018) s typickým dlátkovitým ukončením v dutinách křemen-fluoritové žiloviny; Clara mine, Schwarzwald (Baden-Württemberg, Německo); šířka záběru 1,1 mm. Foto: M. Noller.



Obr. 23. Radiálně uspořádané skupiny jehlicovitých krystalů bílého šlikitu (popsán 2019) v asociaci se zeleným brochantitem; Jáchymov – šachta Vladimír, důl Plavno, 2. patro; šířka záběru 4 mm. Foto: B. Bureš.



Obr. 24. Kulovité a polokulovité krystalické agregáty oranžového kroupaitu (popsán 2020) v asociaci s čirým sádrovcem; Jáchymov – žíla Jan Evangelista, důl Svornost, patro Daniel; šířka záběru 2,5 mm. Foto: P. Škácha.



Obr. 25. Světle zelenavě modré polokulovité agregáty krupičkaitu (popsán 2021) na silně supergenně alterované žilovině; Jáchymov – důl Rovnost, 3. Dušní patro; šířka záběru 3,7 mm. Foto: J. Sejkora.



Obr. 26. Srostlice tmavě olivově zelených tabulkovitých krystalů wolfsrieditu (popsán 2025) na křemeni; Clara mine, Schwarzwald (Baden-Württemberg, Německo); šířka záběru 1 mm. Foto: S. Wolfsried.